

## مروری بر کاربردهای نانوسيال در زمینه انتقال حرارت و انتقال جرم

فرهاد سلیمی<sup>۱\*</sup>، جواد سلیمی<sup>۲</sup>

۱- دانشگاه آزاد اسلامی، واحد کرمانشاه، گروه مهندسی شیمی، کرمانشاه، کد پستی ۶۷۱۸۹۹۷۵۵۱، ایران

۲- عضو باشگاه پژوهشگران جوان، واحد کرمانشاه، کد پستی ۶۷۱۸۹۹۷۵۵۱، ایران

دریافت: ۹۲/۷/۲۷ پذیرش: ۹۲/۱۱/۲۹

### چکیده

نانوسيال به عنوان سيالى تعريف مى شود كه ذرات با اندازه بین يك تا ۱۰۰ نانومتر و به صورت پايدار در سيال پايه معلق است. افزودن نانوذرات باعث مى شود كه خواص ترموفيزيکي سيال تحت تأثير قرار بگيرد. امروزه تحقيقات در زمینه نانوسيالات ابعاد گسترهای پیدا كرده است. تحقيقات نشان داده كه استفاده از نانوذرات در سيال پايه باعث مى شود كه ضرایب انتقال حرارت و جرم افزایش يابد. افزایش ضرایب انتقال حرارت و جرم سبب افزایش بازده، کاهش اندازه تجهیزات و همچنین، هزینه ساخت آنها مى شود. از اين روي، در اين مقاله مروري بر کاربردهای نانوسيال در فرایندهای انتقال حرارت و جرم و همچنین، بررسی مکانیزم‌های حاکم بر آنها پرداخته مى شود.

**كلمات کلیدی:** نانوسيال، ضریب انتقال حرارت، ضریب انتقال جرم

### مقدمه

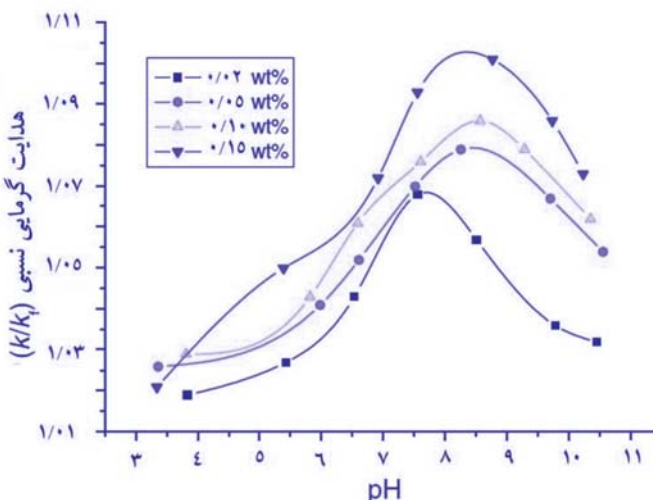
انجام شده است، اما تعداد آنها در مقایسه با تحقيقات صورت گرفته در انتقال حرارت و هدایت گرمایي بسيار کمتر است. نتایج استفاده از نانوذرات، به عنوان افروزندهای سيال برای بهبود انتقال حرارت و جرم، توجه بسیاری از محققان را جلب كرده است. در اين مقاله سعی مى شود به بررسی کاربردهای نانوسيالات در زمینه‌های انتقال حرارت و انتقال جرم پرداخته شود و با بررسی نتایج کارهای انجام شده در اين زمینه يك طبقه‌بندی مناسب صورت گيرد.

يکی از اهداف مهم محققان و مهندسان در صنعت افزایش بازدهی و کوچک کردن سامانه‌های مورد استفاده در صنعت است. فناوري جديد نانوتكنولوژي اين امكان را فراهم آورده تا بتوان ذراتي با اندازه بسيار کوچک نانومتری تولید و فراوری کرد. در سال ۱۹۹۵، چوی<sup>۱</sup> از بخش تكنولوژي انرژي آزمایشگاه ملي آرگون آمريكا اولين بار موضوع نانوسيال را به عنوان محيط جديد انتقال حرارت مطرح كرد [۱]. در سال‌های اخير مطالعاتي در زمینه افزایش انتقال جرم در حضور نانوذرات

\*f.salimi@iauksh.ac.ir

<sup>۱</sup> Choi

## تهیه نانوسيال



شکل ۱: نمودار نسبت ضریب هدایت گرمایی نانوسيال به سیال پایه بر حسب pH [۵]

از کار آنها نشان داد که افزایش غلظت نانوذره باعث افزایش هدایت حرارتی سیال می شود. مقدار pH نانوسيال از عوامل دیگر مؤثر در ضریب هدایت حرارتی نانوسيال است. ژو [۵] و همکاران اثر نانوذرات اکسید آلومینیوم را در ضریب هدایت حرارتی آب بررسی کردند. آنها غلظت نانوذرات، تغییرات pH و غلظت سورفتانت را به عنوان پارامترهای کلیدی بررسی کردند. نتایج آنها نشان داد که ضریب هدایت حرارتی در غلظت ۰/۱۵ درصد وزنی ۱۰/۱ درصد افزایش می پاید. آنها ضریب هدایت حرارتی را به ازای pH های مختلف اندازه گرفتند و به این نتیجه رسیدند که در pH برابر هشت ضریب هدایت حرارتی بیشینه است.

دما از عوامل مؤثر دیگر در ضریب هدایت حرارتی نانوسيال است. یافته های تجربی نشان می دهد، با افزایش دما اثر نانوذرات در افزایش ضریب هدایت حرارتی نیز به شدت افزایش می پاید [۶]. تغییرات ضریب هدایت گرمایی بر حسب دما در شکل (۲) رسم شده است. چوی و همکاران اثر اندازه نانوذرات را در ضریب هدایت حرارتی بررسی کردند و به این نتیجه رسیدند که با افزایش اندازه نانوذره ضریب هدایت حرارتی کاهش می پاید [۷].

### ۳- افزایش انتقال حرارت

یکی از مشکلات سامانه های انتقال حرارت امروزی نبود

طرز تهیه نانوسيال اولین قدم کلیدی در کاربردی کردن این مفهوم است. تهیه نانوسيال را که از طریق افزودن نانوذرات به سیال پایه صورت می گیرد، نباید مانند یک اختلاط ساده جامد- مایع در نظر گرفت. زیرا تهیه نانوسيال مستلزم ایجاد شرایط خاص و ویژه ای است. برخی از این شرایط خاص عبارت است از: یکنواخت بودن سوسپانسیون، پایدار بودن سوسپانسیون، توده ای شدن کم ذرات و عدم تغییر ماهیت شیمیایی سیال. برای رسیدن به چنین خواص ویژه ای از محلول سوسپانسیون، از روش های مختلف استفاده می شود. مثلاً می توان از تغییر pH محلول سوسپانسیون، استفاده از مواد فعال سطحی، استفاده از مواد پراکنده ساز و ضد انعقاد ذرات یا از ارتعاشات برای رسیدن به ویژگی های مذکور استفاده کرد [۲]. تمام این روش ها باعث می شود خواص سطحی ذرات معلق شده برای ایجاد یک سوسپانسیون پایدار تغییر کند.

### نتایج و بحث

#### انتقال حرارت

##### ۱- افزایش هدایت حرارتی

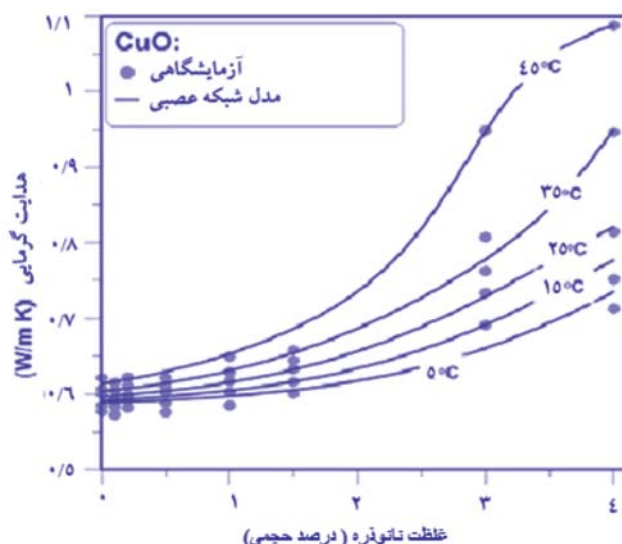
یکی از مشخصه های مؤثر سیال در فرایندهای انتقال حرارت هدایتی و جابجایی ضریب هدایت حرارتی آن است. بالا بودن این مشخصه بیانگر بالا بودن نرخ انتقال حرارت توسط هر کدام از دو مکانیسم یاد شده است. آب و اتیلن گلایکول از جمله سیالاتی است که به عنوان سیال خنک کننده در مبدل ها استفاده می شود اما دارای هدایت گرمایی پایینی نسبت به جامدات است. افروden نانوذرات فلزی یا اکسیدهای فلزی با هدایت گرمایی بالا به سیال پایه باعث افزایش هدایت گرمایی سیال پایه می شود. این افزایش در ضریب هدایت حرارتی به فاکتورهایی مانند شکل ذرات، ابعاد ذرات، درصد حجمی ذرات در محلول، ویژگی های حرارتی نانوذرات و سیال پایه و اسیدیته بستگی دارد [۳].

کریمی [۴] و همکاران اثر نانوذره کربن نانوتیوب را در ضریب هدایتی حرارتی سیال پایه بررسی کردند. نتایج به دست آمده

بازده آب گرمکن‌های خورشیدی، بهبود بازده انتقال حرارت در سردسازها، خنک کردن تجهیزات الکتریکی و خنک کاری موتور نمونه‌هایی از کاربرد نانو‌سیالات در زمینه انتقال حرارت است [۹].

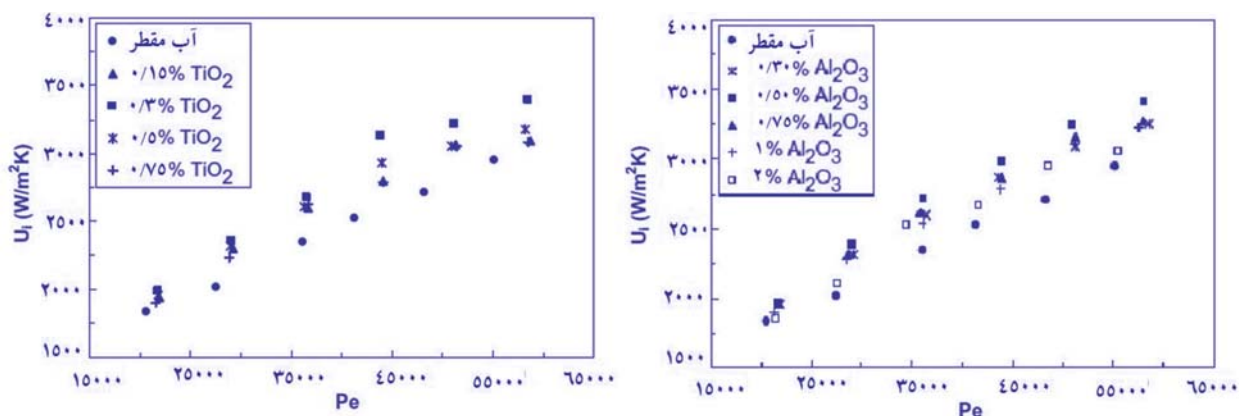
اعتماد و همکاران [۱۰] اثر نانوذرات  $\text{Al}_2\text{O}_3$  و  $\text{TiO}_2$  در سیال پایه آب را بر روی انتقال حرارت در یک مبدل پوسته و لوله بررسی کردند. نتایج کار آن‌ها نشان داد، افزودن نانوذرات باعث افزایش انتقال حرارت می‌شود و برای نانوذرات استفاده شده غلظت‌های بهینه وجود دارد که در این غلظت‌ها انتقال حرارت بیشینه است. بیشترین افزایش در ضریب انتقال حرارت کلی برای  $\text{TiO}_2$  و  $\text{Al}_2\text{O}_3$  به ترتیب حدود ۲۰ و ۲۴ درصد است. تغییرات ضریب انتقال حرارت کلی بر حسب عدد پکلت، به ازای غلظت‌های مختلف نانوذره، در شکل (۳) رسم شده است.

جانگ<sup>۱</sup> و همکاران<sup>[۱۱]</sup> اثر نانوذرات  $\text{Al}_2\text{O}_3$  را در ضریب انتقال حرارت جابجایی اجباری بررسی کردند و نشان دادند در غلظت ۳/۰ درصد ضریب انتقال حرارت جابجایی تا هشت درصد افزایش می‌یابد. در بحث استفاده از نانوسیالات در انتقال حرارت جابجایی آزاد نتایج متفاوتی به دست آمده است و در بعضی موارد باعث افزایش و در بعضی موارد باعث کاهش انتقال حرارت شده است. ون<sup>[۱۲]</sup> و پوتو<sup>[۱۳]</sup> اثر نانوذرات را در انتقال حرارت جابجایی آزاد به صورت آزمایشگاهی بررسی کردند. نتایج کار آن‌ها نشان داد، انتقال حرارت با افزایش مقدار نانوذرات کاهش می‌یابد. دهنوی<sup>[۱۴]</sup> و حبیب<sup>[۱۵]</sup> اثر نانوذرات را در انتقال



شکل ۲: نمودار تغییرات ضریب هدایت گرمایی پر حسب دما [۸]

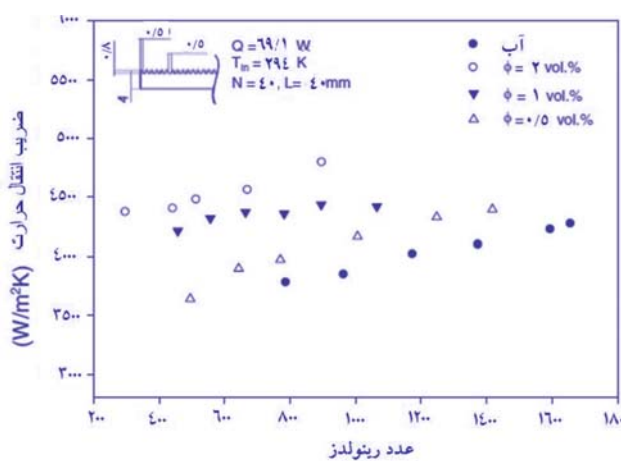
انتقال حرارت با شدت زیاد در زمان کوتاه است. افزایش سطح انتقال حرارت یکی از راههای قدیمی افزایش انتقال حرارت است. اما با افزایش سطح انتقال حرارت، باید دبی حجمی سیال خنک‌کننده در مبدل حرارتی افزایش یابد که این باعث افزایش هزینه پمپاژ می‌شود. امروزه افزایش هدایت حرارتی سیال خنک‌کننده در مبدل حرارتی به عنوان یکی از روش‌های مهم افزایش بازده حرارتی و طراحی مبدل حرارتی مطرح است. تشکیل سوسپانسیون پایدار، عدم کلوخه شدن، ضریب رسانش بالا و ضریب انتقال حرارت بالا برخی از ویژگی‌های نانوسیالات است که پتانسیل کاربرد آن‌ها را در زمینه انتقال حرارت افزایش داده است. بهبود بازده موتورهای دینامیکی، بهبود



شکل ۳: نمودار تغییرات ضریب انتقال حرارت کلی بر حسب عدد پکلت به ازای غلظت‌های مختلف نانوذره [۱۰]

بهبود انتقال حرارت و در بعضی موارد باعث کاهش انتقال حرارت شده است. اعتماد و همکارانش [۱۸] اثر نانوذرات  $\gamma\text{-Al}_2\text{O}_3$  را در فرایند جوشش سیال پایه آب تحت فشار اتمسفریک بررسی کردند. غلظت‌های وزنی نانوذرات و غلظت محلول CMC<sup>۳</sup> به عنوان پارامترهای کلیدی بررسی شد. نتایج جوشش نانوسیال نیوتونی آب-اکسید آلمینیوم نشان می‌دهد که نانوسیالات به طور قابل توجهی قادر به بهبود عملکرد انتقال حرارت جوشش است و میزان بهبود با افزایش غلظت افزایش می‌یابد. اما افزایش CMC به سیال پایه باعث کاهش انتقال حرارت می‌شود که به دلیل افزایش ویسکوزیته محلول است. با این وجود افزودن نانوذرات به این محلول غیر نیوتونی باعث بهبود در رفتار جوشش می‌شود. نمودار ضریب انتقال حرارت بر حسب شار حرارتی در شکل (۵) رسم شده است.

آزمایش‌هایی توسط بنگ<sup>۴</sup> و همکاران [۱۹] روی نانوسیال آب و اکسید آلمینیوم، با درصد حجمی ۰/۵ تا ۴، انجام شده است. نتایج کار آن‌ها نشان می‌دهد، افزودن نانوذرات باعث کاهش انتقال حرارت در جوشش نانوسیال می‌شود که به دلیل تهشیینی نانوسیال و کاهش سطح مؤثر جوشش رخ می‌دهد. آن‌ها به این نتیجه رسیدند که ضریب انتقال حرارت تا ۲۰ درصد کاهش و شار حرارتی بحرانی تا ۳۲ درصد افزایش می‌یابد. آن‌ها دلیل این روند را به تغییر زبری سطح نسبت دادند.

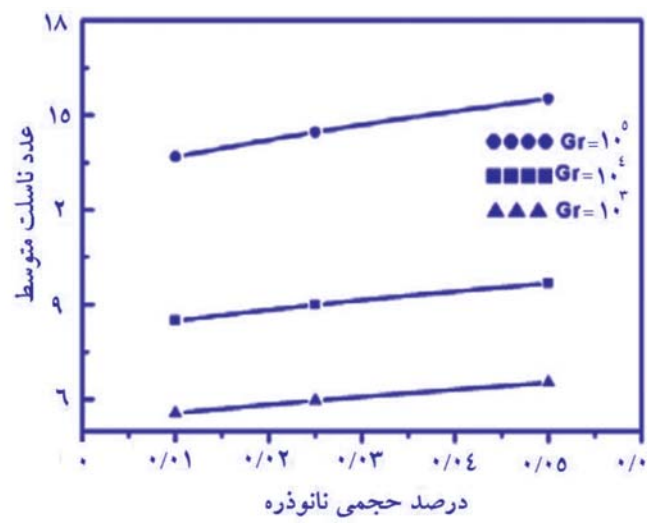


شکل ۵: نمودار ضریب انتقال حرارت بر حسب عدد رینولدز [۱۷]

حرارت جابجایی آزاد به صورت عددی بررسی کردند و نتایج به دست آمده از کار آن‌ها نشان داد، افزودن نانوذرات باعث افزایش در عدد ناسلت می‌شود. عدد ناسلت بر حسب غلظت نانوذره در شکل (۴) رسم شده است.

از دیگر کاربردهای نانوسیالات استفاده از آن‌ها در میکروکanal‌هاست که در سال‌های اخیر اهمیت زیادی پیدا کرده است. از جمله کاربردهای میکروکanal‌ها استفاده از آن‌ها در ساخت وسایل الکترونیکی از جمله کامپیووترهای شخصی است. آنپ<sup>۱</sup> و همکاران [۱۶] اثر نانوسیالات را در انتقال حرارت در یک میکروکanal، با شرط دما ثابت، بررسی کردند. نتایج کار آن‌ها نشان داد، نرخ انتقال حرارت با افزایش دمای افزایش می‌یابد و برای نانوسیالات اثر افزایش انتقال حرارت در دبی‌های پایین بیشتر است. نیتیپیروک<sup>۲</sup> و همکاران [۱۷] نیز در کاری مشابه اثر نانوسیالات را در انتقال حرارت میکروکanal‌ها بررسی کردند و میکروکanal آن‌ها دقیقاً مشابه میکروکanal‌های استفاده شده در ساخت کامپیووترهای شخصی است. نتایج کار آن‌ها حاکی از آن است که افزودن نانوذرات باعث بهبودی انتقال حرارت می‌شود. در شکل (۵) ضریب انتقال حرارت بر حسب عدد رینولدز، به ازای غلظت‌های مختلف نانوذره، رسم شده است.

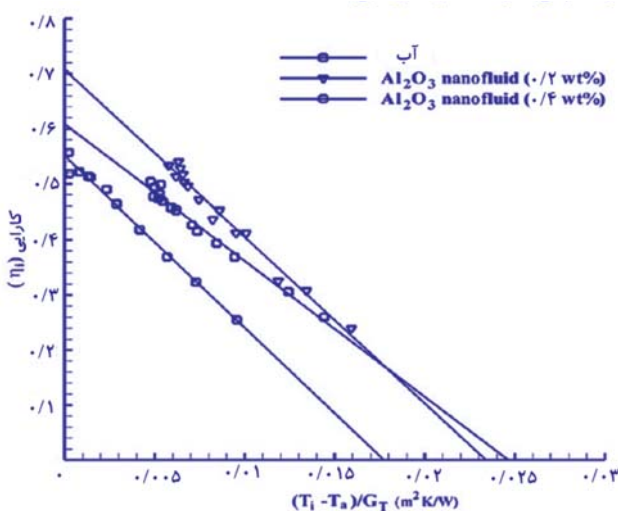
اثر نانوذرات در فرایند جوشش نیز بررسی شده و نتایج به دست آمده دارای تنافض زیادی است که در بعضی موارد باعث



شکل ۴: نمودار عدد ناسلت بر حسب غلظت نانوذره [۱۴]

1. Anoop  
2. Nitipiruk

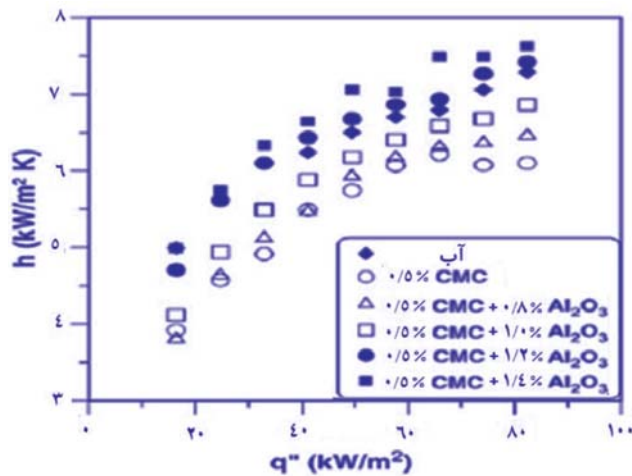
3. carboxy methylcellulose  
4. Bang



شکل ۷: نمودار بازدهی به ازای غلظت‌های مختلف نانوذره [۲۰]

همکاران [۲۲] پیشگامان پژوهش در زمینه نفوذ جرم در نانوسیالات هستند. آن‌ها اثر نفوذ رنگ در نانوسیال آب- اکسید آلومینیوم را بررسی کردند. آن‌ها نشان دادند که ضریب نفوذ در نانوسیالات بیشتر از آب مقطر (سیال پایه) است و بیشینه ضریب نفوذ در غلظت  $0.5\%$  درصد حجمی نانوذرات رخ می‌دهد. در غلظت‌های کم حرکت براونی نانوذرات باعث به وجود آمدن میدان‌های آشفتگی در نانوسیالات می‌شود که می‌تواند دلیل افزایش شدت نفوذ باشد. اما با افزایش غلظت نانوذرات، نانوذرات به هم می‌چسبند و سنگین می‌شوند که به سبب آن حرکت براونی نانوذرات کاهش می‌یابد و در نتیجه ضریب نفوذ کاهش می‌یابد. در شکل (۸) نسبت ضریب نفوذ رنگ در نانوسیالات بر ضریب نفوذ در آب خالص بر حسب غلظت نانوذره رسم شده است.

آزمایش مشابه دیگر توسط فانگ<sup>۴</sup> و همکاران [۲۳] انجام شد. آن‌ها نیز مشاهده کردند، افزودن نانوذرات مس به آب باعث افزایش نفوذ رنگ می‌شود. فنگ<sup>۵</sup> و همکاران [۲۴] به بررسی اثر نفوذ سدیم کلراید در نانوسیال سیلیکا- آب پرداختند و مشاهده کردند که افزودن نانوذرات تأثیری در نفوذ یدیم کلراید ندارد. در بیش‌تر کارهایی که بر روی بررسی ضریب نفوذ نانوسیالات انجام شده است نشان می‌دهد که یک غلظت بهینه وجود دارد



شکل ۶: نمودار ضریب انتقال حرارت نانوسیالات بر حسب غلظت‌های مختلف نانوذره [۱۸]

از دیگر کاربردهای نانوسیالات استفاده از آن‌ها در کالکتورهای خورشیدی برای افزایش بازدهی آن‌هاست. یوسفی و همکاران [۲۰] اثر نانوسیال آب- اکسید آلومینیوم را در بازدهی یک کالکتور خورشیدی صفحه تخت بررسی کردند. اثر غلظت نانوذره، اثر دبی سیال و غلظت سورفکتانت بررسی شد. نتایج به دست آمده از کار آن‌ها نشان داد، استفاده از نانوسیالات میزان بازدهی را تا  $28/3$  درصد، نسبت به سیال پایه (آب) افزایش می‌دهد. نمودار بازدهی به ازای غلظت‌های مختلف نانوذره در شکل (۷) رسم شده است. اتانیکار<sup>۱</sup> و همکاران [۲۱] نیز به بررسی استفاده از نانوسیالات در یک میکروکالکتور خورشیدی پرداختند و نتایج نشان داد، نانوسیالات بازدهی را تا پنج درصد افزایش می‌دهند.

### انتقال جرم

#### ۰ افزایش ضریب نفوذ<sup>۲</sup>

ضریب نفوذ شاخصی از قدرت نفوذ یک ماده در ماده دیگر است که مقدار آن بستگی به جزء موردنظر و شرایط محیط اطراف آن؛ یعنی دما، فشار، غلظت و طبیعت دیگر اجزا دارد. افزایش ضریب نفوذ سبب افزایش ضریب انتقال جرم می‌شود که در فرایند انتقال جرم بسیار مهم است. کریشمامورتی<sup>۳</sup> و

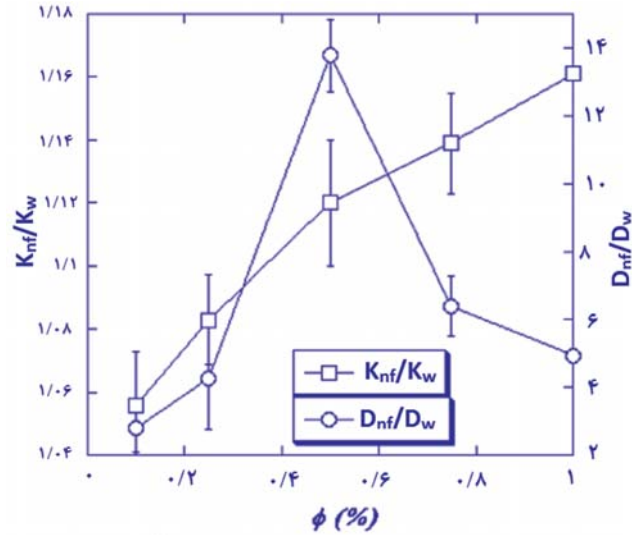
1. Otanicar  
2. diffusion coefficient  
3. Krishnamurthy

4. Fang  
5. Feng

همکاران [۲۷] از نانوسیالات برای بهبود جذب گاز آمونیاک در سامانه  $H_2O/NH_3$  استفاده کردند. بدین منظور از برج جذب نوع حبابی استفاده کرده و ذرات با اندازه نانو را به سیال پایه اضافه کردند. آن‌ها از فرایند جذب حبابی تصویربرداری کرده و مشاهده کردند که اندازه حباب ایجاد شده در نانوسیال از سیال دوچرخه‌ای کمتر است. این موضوع به دلیل برخورد نانوذرات با حباب‌های تشکیل شده است و این باعث می‌شود سطح انتقال جرم افزایش یابد، بنابراین، حباب در نانوسیال سریع تر جذب می‌شود. آن‌ها دریافتند که نرخ جذب در همه غلظت‌ها و در همه انواع نانوذرات ( $CuAl_2O_3$ ,  $CuO$ ) بیشتر از سیال پایه است و با افزایش درصد وزنی نانوذره افزایش می‌یابد. آن‌ها بیشینه کسر جذب مؤثر (نسبت جذب در حضور نانوذرات به جذب در سیال پایه) در غلظت ۱۸/۷ درصد از آمونیاک و غلظت حجمی ۰/۱ درصد از نانوذرات مس را برابر ۳/۲۱ به دست آورند.

در سال ۲۰۰۸، کیم و همکاران [۲۸] از نانوسیال سیلیکا/آب برای جذب دی‌اکسیدکربن در یک برج جذب حبابی استفاده کردند. براساس مشاهدات آن‌ها، افزودن نانوذرات به سیال پایه شدت جذب را تا ۷۶ درصد در طول یک دقیقه اول و مقدار کلی جذب را تا ۲۴ درصد افزایش می‌دهد. آن‌ها به این نتیجه رسیدند که ضریب انتقال جرم دی‌اکسیدکربن در نانوسیال پنج برابر بیشتر از آب خالص است. همچنین مشاهده کردند، حباب‌های تشکیل شده در نانوسیال کوچک‌تر از آب خالص است و سطح انتقال جرم بیشتر و حلایق بالایی دارند. در سال ۲۰۰۹، مَا<sup>۳</sup> و همکاران [۲۹] میزان انتقال حرارت و جرم را با استفاده از نانولوله‌های کربنی، در سیال پایه آب-آمونیاک، در یک برج حبابی بررسی کردند. با اصلاح کردن سطح نانوذرات، نانوسیال دوتایی بدون اضافه کردن هیچ نوع پخش‌کننده تهیه شد. اثر غلظت نانوذره و غلظت اولیه آمونیاک در سیال پایه در جذب بررسی شد. نتایج آن‌ها نشان داد که افزایش غلظت نانوذره باعث افزایش شدت جذب می‌شود.

در سال ۲۰۱۱، لی<sup>۳</sup> و همکاران [۳۰] با استفاده از یک برج حبابی و به وسیله متابول، به عنوان سیال پایه و نانوذرات



شکل ۸: نمودار نسبت ضریب نفوذ رنگ در نانوسیالات بر ضریب نفوذ در آب خالص و همچنین نسبت هدایت حرارتی نانوسیالات بر ضریب هدایت حرارتی آب خالص بر حسب درصد حجمی نانوذرات [۲۲]

که پس از آن ضریب نفوذ کاهش می‌یابد.

#### ۰ افزایش انتقال جرم

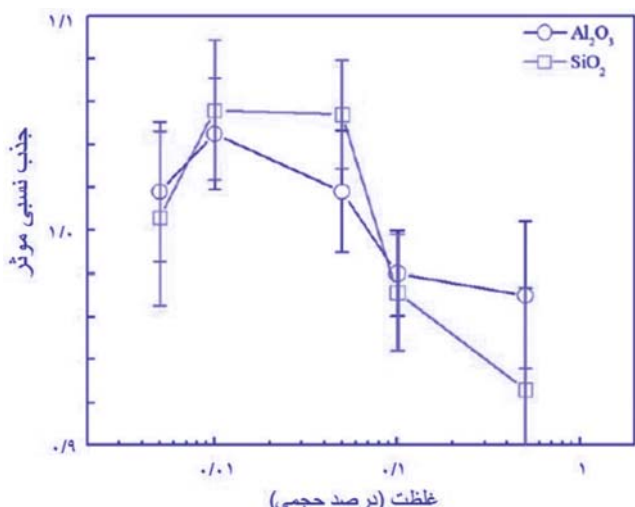
انتقال جرم یکی از فرایندهای مهم در صنایع شیمیایی است. ضرایب انتقال جرم در طراحی دستگاه‌هایی مانند برج‌های تقطیر، برج‌های جذب و دفع و برج‌های خنک‌کننده آب نقش مهمی دارند. در این قسمت مروری بر کارهای انجام شده، برای بهبود انتقال جرم با نانوسیال، در فرایند جذب گاز بیان می‌شود. به طوری که بیشتر تحقیقاتی که تاکنون در این زمینه انجام شده است، نشان می‌دهد که افزایش نانوذرات به حلal می‌تواند سبب افزایش شدت انتقال جرم شود [۲۵-۲۶]. بیشتر از دو برج حبابی و جداره مرتبط برای ایجاد سطح تماس بین دو فاز گاز و مایع استفاده شده و با توجه به متفاوت بودن مکانیزم انتقال جرم در این دو برج، تلاش شده تا یک طبقه‌بندی مناسب با توجه به نوع برج صورت گیرد.

#### ۰ برج جذب حبابی

در این قسمت مروری بر کارهای انجام شده با برج حبابی و بررسی مکانیزم‌های آن انجام می‌شود. در سال ۲۰۰۶، کیم<sup>۱</sup> و

1. Kim  
2. Ma

3. Lee



شکل ۹: نمودار نرخ جذب متأثر بر حسب غلظت نانوسیال [۳۰].

۱۵ درصد از آمونیاک و در حضور نانوذرات  $\gamma\text{-Al}_2\text{O}_3$  و ماده فعال کننده سطح PAA، نرخ جذب  $30\%$  درصد افزایش می‌یابد. در سال ۲۰۱۱، یانگ و همکاران [۳۳] اثر نانوذرات  $\text{ZnFe}_2\text{O}_4$  و  $\text{Fe}_2\text{O}_3$ ،  $\text{Al}_2\text{O}_3$  پایه آب-آمونیاک، در یک برج جداره مرطوب بررسی کردند. غلظت نانوذرات، ویسکوزیته، پایداری نانوسیال و نسبت جرمی آمونیاک در سیال پایه به عنوان پارامترهای کلیدی بررسی شد. آن‌ها یک مقدار بهینه را برای هریک از نانوذرات و سورفکتانت به دست آوردند. آن‌ها علت اصلی نتایج به دست آمده را تغییرات ویسکوزیته دانستند. آزمایش‌های ویسکوزیته نشان داده است که ویسکوزیته به سرعت بعد از مقدار خاصی از نانوذره افزایش می‌یابد. بنابراین، افزایش میزان ذرات هنگامی می‌تواند سبب افزایش نرخ جذب شود که ویسکوزیته نانوسیال به مقدار زیادی افزایش پیدا نکند. اضافه کردن فقط سورفکتانت یا مقدار کمی نانوذره شدت جذب را به صورت ناچیز افزایش داد. آن‌ها توانستند شدت جذب را تا  $70\%$  درصد برای  $\text{Fe}_2\text{O}_3$  و  $50\%$  درصد برای  $\text{ZnFe}_2\text{O}_4$  در غلظت  $15\%$  درصد جرمی آمونیاک افزایش دهند. نمودار نرخ جذب بر حسب غلظت نانوذره در شکل (۱۰) رسم شده است [۳۳].

- اثر میدان مغناطیسی در فرایند جذب تحقیقات اخیر نشان داده است، اعمال میدان مغناطیسی

1. Yang

$\text{Al}_2\text{O}_3$  و  $\text{SiO}_2$ ، عملیات جذب گاز دی‌کسیدکربن را انجام دادند. آن‌ها موفق شدند مقدار جذب را برای نانوسیال  $\text{Al}_2\text{O}_3$  تا  $4/5\%$  درصد در غلظت  $1/0/0\%$  درصد و برای  $\text{SiO}_2$  تا  $5/6\%$  درصد در غلظت  $5/0\%$  درصد، در دمای  $-20^\circ\text{C}$  درجه افزایش دهند. همچنین، آن‌ها یک غلظت بهینه را برای هر یک از نانوذرات به دست آوردند که این غلظت، برای هر دو نانوذره استفاده شده،  $1/0\%$  درصد حجمی است. بعد از این غلظت بهینه نرخ انتقال جرم کاهش می‌یابد. آن‌ها علت این کاهش را به واسطه به هم چسبیدن نانوذرات بیان کردند که باعث سنگین شدن نانوذرات و کاهش میدان سرعت آن‌ها در سیال می‌شود. در شکل (۹) نمودار مقدار جذب بر حسب غلظت نانوذره رسم شده است [۳۰].

#### • برج جداره مرطوب

در این قسمت مروی بر کارهای انجام شده با برج جداره مرطوب و بررسی مکانیزم‌های آن انجام می‌شود. در سال ۲۰۱۱ صمدی و همکاران [۳۱] اثر نانوذره  $\text{Al}_2\text{O}_3$  را در جذب گاز دی‌کسیدکربن با سیال پایه آب در یک برج جداره مرطوب بررسی کردند. شدت جرمی آب و گاز و غلظت نانوسیال به عنوان پارامترهای کلیدی بررسی شد. آن‌ها به این نتیجه رسیدند که افزایش غلظت نانوذرات باعث افزایش ضریب انتقال جرم و شدت انتقال جرم می‌شود و بیشترین افزایش در غلظت یک درصد حجمی مشاهده می‌شود که شدت انتقال جرم  $90\%$  درصد و ضریب انتقال جرم  $55\%$  درصد، نسبت به آب خالص، افزایش پیدا می‌کند.

یانگ<sup>۱</sup> و همکاران [۳۲] اثر نانوذرات آلفا اکسید آلومینیوم و گاما اکسید آلومینیوم را در فرایند جذب آب-آمونیاک در برج‌های فیلم ریزان بررسی کردند. آن‌ها در آزمایش‌های خود از دو نوع فعال کننده سطح پلی‌اکریلیک اسید (PAA) و سدیم دو دسیل بنزن (SDBS) استفاده کردند. طبق مشاهدات آن‌ها، نانوذرات  $\alpha\text{-Al}_2\text{O}_3$  بر جذب آمونیاک ضعیف بوده ولی  $\gamma\text{-Al}_2\text{O}_3$  باعث افزایش جذب آمونیاک می‌شود. زیرا با ساختار متفاوت ویژگی‌های سطح تغییر می‌کند که سبب می‌شود توانایی برای جذب آمونیاک نیز متفاوت باشد. در غلظت اولیه

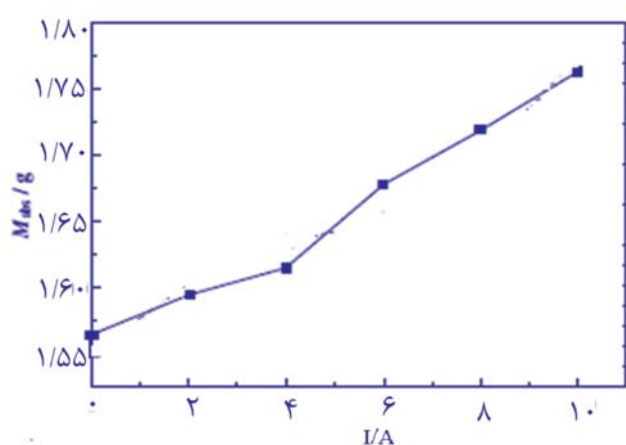
در پی آن انتقال جرم افزایش می‌یابد. نمودار نرخ جذب بر حسب شدت میدان مغناطیسی در شکل (۱۱) رسم شده است [۳۹]. مکانیسم‌هایی که برای افزایش انتقال جرم بررسی شده به این صورت است که حرکت براونی نانوذرات سبب به وجود آمدن گردابه و میکروجابجایی درون نانوسيالات می‌شود که به موجب آن ضریب انتقال جرم تقویت می‌شود [۲۷-۳۵-۳۴-۲۲-۳۰]. از طرفی، تجمع نانوذرات مکانیسمی است که برای کاهش انتقال جرم در نانوسيالات استفاده شده است [۳۰-۲۲-۳۴]. در واقع، تجمع نانوذرات در غلظت‌های بالا رخ می‌دهد که سبب به وجود آمدن ذرات با اندازه بزرگ می‌شود. این ذرات بر سر راه انتقال جرم اجزا تجمع کرده و سبب افزایش مقاومت انتقال جرم می‌شود. عامل دیگری که باعث کاهش انتقال جرم نانوسيال می‌شود افزایش ویسکوزیته است که باعث افزایش مقاومت انتقال جرم می‌شود [۳۳].

#### نتیجه‌گیری

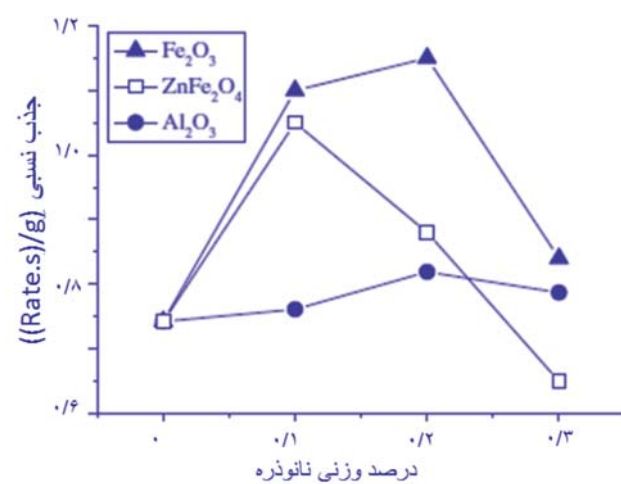
در این مقاله، مروری بر کاربردهای نانوسيال در زمینه انتقال حرارت و جرم ارائه شد. علت اصلی افزایش انتقال حرارت توسط نانوسيالات این است که افزودن نانوذرات با ضریب هدایت حرارتی بالا منجر به افزایش ضریب هدایت حرارتی سیال می‌شود و همچنین، حرکت براونی نانوذرات آشفتگی و اغتشاش را در سیال

بر نانوذرات مغناطیسی باعث افزایش انتقال جرم شده است. در فرایند جذب، در حضور میدان مغناطیسی، بیشتر از نانوذرات مغناطیسی  $\text{Fe}_3\text{O}_4$  استفاده شده است. سورش<sup>۱</sup> و همکاران [۳۷] تأثیر میدان مغناطیسی را در سیال مغناطیسی بررسی کردند. اعمال میدان به این دلیل بود که بتوانند رفتار ذرات مغناطیسی را در فیلم نفوذ کنترل کرده و یک اختلاط، هرچند جزئی، در این ناحیه ایجاد کنند. آن‌ها هنگامی به افزایش ۴۰ تا ۵۰ درصد ضریب انتقال جرم در یک برج جداره مرتبط دست یافتند که میدان مغناطیسی متناوبی، با فرکانس ۵۰ هرتز، به سامانه اعمال کردند. وی-دانگ<sup>۲</sup> و همکارانش [۳۸] آزمایش‌های جذب آب/آمونیاک را در سامانه حبابی، در حضور میدان مغناطیسی، انجام دادند. آن‌ها از نانوذرات مغناطیسی آهن برای افزایش جذب استفاده کردند و علت افزایش شدت جذب را در حضور میدان مغناطیسی، به دلیل کاهش کشش سطحی و ویسکوزیته نانوسيال، بیان کردند.

اعمال میدان مغناطیسی باعث می‌شود یک نیروی ثانویه به ذرات مغناطیسی وارد شود که باعث اغتشاش در ضخامت فیلم مایع می‌شود که این امر شار انتقال جرم را افزایش می‌دهد. همچنین، تحقیقات اخیر نشان داده است، میدان مغناطیسی باعث کاهش ویسکوزیته و کشش سطحی می‌شود که کاهش این دو باعث ریزتر شدن حباب‌ها و افزایش سطح تماس می‌شود که



شکل ۱۱: میزان انتقال جرم بر حسب شدت میدان‌های مختلف [۳۹]



شکل ۱۰: نمودار نرخ جذب بر حسب غلظت نانوذرات [۳۳]

زمینه انتقال حرارت و جرم، می‌توان با به کارگیری آنها در صنعت، به بازدهی بالاتر و مصرف انرژی کمتر در تجهیزات دست یافت.

#### تشکر و قدردانی

این کار قسمتی از یک طرح تصویب شده در دانشگاه آزاد اسلامی واحد کرمانشاه است. بنابراین، بر خود لازم می‌دانیم که به دلیل حمایت‌های مالی این دانشگاه تشکر و قدردانی نماییم.

افزایش می‌دهد که این باعث می‌شود فرایند انتقال انرژی بهبود یابد. یکی از عواملی که باعث افزایش انتقال جرم در نانوسیالات می‌شود به وجود آمدن گردابه و میکروجابجایی‌های ناشی از حرکت براونی نانوذرات است. البته حرکت براونی نانوذرات در غلظت‌های بالا، با به هم چسبیدن نانوذرات و سنتگین شدن آن‌ها کاهش می‌یابد. بنابراین، باید غلظت بهینه نانوذرات در فرایند جذب به دست آید. با توجه به پتانسیل‌های موجود در نانوسیالات در

#### فهرست علائم و نشانه‌ها

1.  $K \text{ (wm}^{-1}\text{k}^{-1})$ : Conductivity
2.  $U_i \text{ (wm}^{-2}\text{k}^{-1})$ : Overall heat transfer coefficient
3. Pe: Peclet number
4.  $h \text{ (wm}^{-2}\text{k}^{-1})$ : heat transfer coefficient
5. D ( $\text{m}^2\text{s}^{-1}$ ): diffusion coefficient
6. I (A): current intensity

#### منابع

1. Choi S.U.S., Enhancing thermal conductivity of fluid with nanoparticles, development and applications of non-Newtonian flows, ASME, 1995, FED 231/MD.
2. GhadimiA., SaidurR., Metselaar H.S.C., A review of nanofluid stability properties and characterization in stationary conditions, Int. J. Heat and Mass Transfer, Vol.54, 2011, pp. 4051–4068.
3. XuanY., Roetzel W., Conceptions for Heat Transfer Correlation of Nanofluids, Int. J. Heat and Mass Transfer, Vol.43, 2000, pp. 3701-3707.
4. Karimi M., Akhavan Bahabadi M.A., DelfaniS., Ghozatloo A., A new application of carbon nanotubes nanofluid as working fluid of low-temperature direct absorption solar collector, Solar Energy Materials & Solar Cells, Vol.121, 2014, pp. 114–118.
5. Zhu D., Li X., Wang N., Wang X., Gao J., Li H., Dispersion behavior and thermal conductivity characteristics of Al<sub>2</sub>O<sub>3</sub>-H<sub>2</sub>O nanofluids, Current Applied Physics, Vol.9, 2009, pp. 131–139.
6. Das S.K., Putra N., Theisen P., Roetzel W., Temperature dependence of thermalconductivity enhancement for nanofluid”, J. Heat Transfer, Vol.125, 2003, pp. 567-575.
7. Kebinski P., Phillipot S.R., Choi S.U.S., Eastman J.A., Mechanisms of heat flow in suspensions of nano-sized particles(nanofluids), Int. J. Heat and Mass Transfer, Vol.45, 2002, pp. 855–863.
8. HojjatM., Etemad S.Gh., Bagheri R., Thibault J., Thermal conductivity of non-Newtonian nanofluids: Experimental data and modeling using neural network, Int. J. Heat and Mass Transfer, Vol.54, 2011, pp. 1017-1023.
9. Saidur R., Leong K.Y., mohammad, H.A., A review on applications and challenges of nanofluids, Renewable and sustainable Energy reviews, Vol.15, 2011, pp. 1646-1668.
10. Farajollahi B., Etemad S.Gh., Hojjat M., Heat transfer of nanofluids in a shell and tube heat exchanger, Int. J. Heat and Mass Transfer Vol.53, 2010, pp. 12–17.
11. Jang S.P., Choi S.U.S., Role of Brownian motion in the enhanced thermal conductivity of nanofluids, Applied Physics Letters, Vol.84, 2004, pp. 4316–8.

12. Wen D., Ding Y., Formulation of nanofluids for natural convective heat transfer applications, *Int. J. Heat and Fluid Flow*, Vol.26, 2005, pp. 855–864.
13. Putra N., Roetzel W., Das S.K., Natural convection of nanofluids, *Heat Mass Transfer*, Vol.39, 2003, pp. 775-784.
14. Dehnavi R., Rezvani Abdollah., Numerical investigation of natural convection heat transfer of nanofluids in a  $\Gamma$  shaped cavity, *Superlattices and Microstructures*, Vol.52, 2012, pp. 312-325.
15. Habibi Matin, M., Pop I., Natural convection flow and heat transfer in an eccentric annulus filled by Copper nanofluid, *Int. J. Heat and Mass Transfer*, Vol.61, 2013, pp. 353–364.
16. Anoop K., Sadr R., Yu J., Kang S., Jeon S., Banerjee D., Experimental study of forced convective heat transfer of nanofluids in a microchannel, *Int. Communications in Heat and Mass Transfer*, Vol.39, 2012, pp. 1325–1330.
17. Nitiapiruk P., Mahian O., Dalkilic A.S., Wongwises S., Performance characteristics of a microchannel heat sink using TiO<sub>2</sub>/water nanofluid and different thermophysical models, *Int. Communications in Heat and Mass Transfer* Vol.47, 2013, pp. 98–104.,
18. Soltani S., Etemad S.Gh., Thibault J., Pool boiling heat transfer of non-Newtonian nanofluids, *Int. Communications in Heat and Mass Transfer*, Vol.37, 2010, pp. 29–33.
19. Bang I.C., Chang S.H., Boiling heat transfer performance and phenomena of Al<sub>2</sub>O<sub>3</sub>-water nanofluids from a plain surface in a pool, *Int. J. Heat and Mass Transfer*, Vol.48, 2005, pp. 2407–2419.
20. Yousefi T., Veysi F., Shojaeizadeh E., Zinadini S., An experimental investigation on the effect of Al<sub>2</sub>O<sub>3</sub>-H<sub>2</sub>O nanofluid on the efficiency of flat-plate solar collectors, *Renewable Energy*, Vol.39, 2012, pp. 293-298.
21. Otanicar T., Phelan P.E., Prasher R.S., Rosengarten G., Taylor R.A., Nanofluid-based direct absorption solar collector. *J. Renewable Sustainable Energy*, Vol.2, 2010.
22. Krishnamurthy S., Bhattacharya P., Phelan P.E., Prasher R.S., Enhanced mass transport in nanofluids, *Nano Lett.*, Vol.6, No.3, 2006, pp. 419-423.
23. Fang X., Xuan Y., Li Q., Experimental investigation on enhanced mass transfer in nanofluids, *Applied Physics Letters*, Vol.95, No.20, 2009, pp. 203108 - 203111.,
24. Feng X., Johnson D.W., Mass transfer in SiO<sub>2</sub> nanofluids: a case against purported nanoparticle convection effects, *Int. J. Heat and Mass Transfer*, Vol.55, No.13–14, 2012, pp. 3447–3453.
25. Nagy E., Feczk T., Koroknai B., Enhancement of oxygen mass transfer rate in the presence of nanosized particles, *Chemical Engineering Science*, Vol.62, 2007, pp. 7391–7398.
26. Komati S., Suresh A.K., CO<sub>2</sub> Absorption into Amine Solutions: a Novel Strategy for intensification based on the addition of ferrofluids, *J. Chemical Technology and Biotechnology*, Vol.83, 2008, pp. 1094-1100.
27. Kim J.K., Jung J.Y., Kang Y.T., The effect of nano-particles on the bubble absorption performance in a binary nanofluid, *Int. J. Refrigeration*, Vol.29, 2006, pp. 22–29.
28. Kim W.G., Kang H.U., Jung K.M., Kim S.H., Synthesis of Silica Nanofluid and Application to CO<sub>2</sub> Absorption, *Separation Science and Technology*, Vol.43, 2008, pp. 3036 – 3055.
29. Ma X., Su F., Chen J., Bai T., Han Z., Enhancement of bubble absorption process using a CNTs-ammonia binary nanofluid, *Int. Communications in Heat and Mass Transfer*, Vol.36, 2009, pp. 657–660.
30. Lee J.W., Jung J.Y., Lee S.G., Kang Y.T., CO<sub>2</sub> Bubble Absorption Enhancement in Methanol-Based Nanofluids, *Int. J. Refrigeration*, Vol.34, 2011, pp. 1727-1733.
31. Samadi Z., Haghshenas Fard M., Moheb A., Effect of nanofluid on mass transfer coefficient of CO<sub>2</sub> in

- a wetted wall column Int. Chemical Engineering Congress & Exhibition Kish, Iran, 2011, pp. 21-24.
32. Yang L., Du K., Cheng B., Jiang Y., The influence of Al<sub>2</sub>O<sub>3</sub> Nanofluid on the falling film absorption with ammonia-water, The Natural Science Foundation of China (No. 50876020).
33. Yang L., DuK., Niu X. F., Cheng B., Jiang Y.F., Experimental study on enhancement of ammonia water falling film absorption by adding nano-particles, Int. J. Refrigeration, Vol.34, 2011, pp. 640-647.
34. Kim H., Jeong J. Y., Kang Y. T., Heat and mass transfer enhancement for falling film absorption process by SiO<sub>2</sub> binary nanofluids, Int. J. Refgeration, Vol.35, 2012, pp. 645-651.
35. Sara O.N., Tcer F., Yapici S., Sahin B., Effect of suspended CuO nanoparticleon mass transfer to a rotating disc electrode, experimental Thermal and fluid science, Vol.35, 2011, pp. 558-564.,
36. Komati S., Suresh A.K., Anomalous enhancement of interphase transport rates by nanoparticles; Effect of magnetic iron oxide on gas-liquid mass transfer, Induastral and Engineering chemistry Research, Vol.49,2010, pp. 390-405.
37. Suresh A.K., Bhalerao S., Rate Intensification of Mass Transfer Process Using Ferrofluid, J. Pure Pplication Physical, Vol.40, 2001, pp. 172-184.
38. Wu W.D., Liu G., Chen S.X., Zhong H., Nanoferreofluid addition enhances ammonia/water bubble absorption in on external magnetic field, Energy and Buiding, Vol.57, 2013, pp. 268-277.
39. Niu X. F., Du K., Xiao F., Experimental study on ammonia-water falling film absorption in external magnetic fields, Int. J. Refrigeration, Vol.33, 2010, pp. 686 – 694.